

北大工学部 正員 能町純雄  
北昆工大 正員 大島俊之

## 1. まえがき

鋼床板の床組としての研究はこれまで、大きく分けて直交型と複合型としての研究と、格子構造としての研究に大別される。<sup>1) 2) 3) 4) 5) 6) 7)</sup> 一二〇述べた解説では別リブ<sup>8)</sup>鋼床板を対象として、台形の継リブ<sup>9)</sup>とテッキアート<sup>10)</sup>を平板要素に分割して、弾塑性論を適用して解析を行っている。<sup>8) 9) 10)</sup> 実験的研究<sup>5) 6)</sup>から鋼床板の横リブ<sup>11)</sup>上に集中荷重を載荷した場合、横リブ<sup>12)</sup>の腹板、座屈後、テッキアート<sup>13)</sup>張力場作用による剛性が弱まるとして報告されており、テッキアート<sup>14)</sup>の平面応力に対する剛性の評価が重要なと思われる。現在未発表では継リブ<sup>15)</sup>の最小板厚を8mm、テッキアート<sup>16)</sup>には12mmとしているが、継リブ<sup>17)</sup>断面変形を考慮した解析によって、これに対する検討もするとしてある。本論では横リブ<sup>18)</sup>のない周辺単波板<sup>19)</sup>の鋼床板について、理論式と計算結果を述べる。一方では横リブ<sup>20)</sup>を有する場合にも適用でき、鋼床板の局部的破壊の検討に有効と思われる。

## 乙、理論の概要

$\exists t \in r, r+1$  间の要素  $\Rightarrow$  11乙次式で用ひる。

$$\dot{T}_{rr+1} = \frac{N}{S} (z \ddot{U}_r + \ddot{U}_{r+1}) + \frac{1}{h} (S_{r,r+1} - S_{r+1,r}) \quad (12)$$

$$\frac{Gt}{z}(\ddot{V}_r + \ddot{V}_{r+1}) + \frac{Gt}{h}(\dot{U}_{r+1} - \dot{U}_r) = \frac{1}{h}(S_{h,r+1} - S_{h+1,r})$$

$$\dot{T}_{r+1,r} = \frac{N}{S} (2\ddot{U}_{r+1} + \ddot{U}_r) - \frac{1}{h} (S_{r+1} - S_{r+1,r}) \quad (3)$$

$$S_{r,r+1} = \frac{N}{h^2} (V_{r+1} - V_r) + \frac{Gt_r}{2} (\dot{U}_{r+1} - \dot{U}_r) + \frac{Gth}{S} (z''_r V_r + V_{r+1}) \quad (4)$$

$$S_{r+1,r} = \frac{N}{h^2} (U_{r+1} - U_r) - \frac{gt}{2} (\dot{U}_{r+1} - \dot{U}_r) - \frac{gth}{s} (z''_{r+1} + U_r) \quad (5)$$

$$M_{r,r+1} = z \left( z \theta_r + \theta_{r+1} - 3 \Delta w_r / h \right) \quad (6)$$

$$M_{r+1,r} = 2K \left( 2\theta_{r+1} + \theta_r - 3\Delta w_r/h \right) \quad (2)$$

$$X_{r,r+1} = X_{r+1,r} = -\frac{E_K}{h} (\theta_r + \theta_{r+1} - 2 \Delta W_r/h) \quad (1)$$

$$\equiv z_u \quad N = F + h \quad (\nu=0), \quad K = \frac{E_K^2 b^3}{12 \pi^2 L}, \quad f = \frac{d}{dx}$$

金相應。二十九、七經一帶，需素占了廿三，真同様。

(図2参照) さらには部材回転角  $R_{kF}$ ,  $R_{k+1,F}$ ,  $R_{k,F+1}$  の3個の未知数は  $\Rightarrow$  112, 2本の角音程式と1本の層方程式を表す。節点トに属するフリーリガスと節点  $k+1$  に属するフリーリガスの和と差をくっつけて、さらに節点  $k+1$  の下側  $k, k+1$  に関する未知数と部材回転角を消去すれば、 $\Delta V_F = 0$  を考慮して、次の2本の基本式を得る。これらを、橋軸方向にフリーリガスと橋軸直角方向に部分交換<sup>13)</sup>して各項の変形量が求められる。

$$\begin{aligned}
& ZK(\Delta^2_r \nabla \theta_{r-1} + 6 \nabla \theta_r) + (4K_2 - 12K_2 \alpha_2 + 2K_2 \beta_1 - 12K_2 \alpha_1 \beta_1) \nabla \theta_r + (2K_2 \beta_2 - 12K_2 \alpha_1 \beta_2 - 12K_2 \alpha_3 - \frac{24K}{h}) \Delta \theta_r \\
& - \frac{\epsilon K}{h} \Delta^2_r \Delta W_{r-1} = 0 \quad (10) ; \quad ZK(\Delta^2_r \nabla \theta_{r-1} + 6 \nabla \theta_r) - \frac{\epsilon K}{h} \Delta^2_r \nabla W_{r-1} + 4K_2 \frac{2K_1 + 3K_2}{2K_1 + 4K_2} \Delta \theta_r = 0 \quad (10) ; \\
& \frac{N_{h^2}}{g} (\Delta^2_r \nabla \dot{U}_{r-1} + 6 \nabla \dot{U}_r) + \frac{Gt h_2}{2} \Delta_r \nabla \dot{U}_r + \frac{Gt h_2}{2} \Delta^2_r \nabla \dot{U}_{r-1} + \frac{N_{h^2}}{2} \nabla \dot{U}_r - \frac{N_{h^2}}{2} \nabla \dot{U}_{r-1} + \frac{\epsilon K}{h \cos \alpha} (\Delta^2_r \Delta \theta_{r-1} + 4 \Delta \theta_r) \\
& - \frac{12K}{h^2 \cos \alpha} \Delta^2_r \nabla W_{r-1} = \frac{\nabla P_r}{\cos \alpha} \quad (11) ; \quad \frac{N_{h^2}}{g} (\Delta^2_r \nabla \dot{U}_{r-1} + 6 \nabla \dot{U}_r) + \frac{Gt h_2}{2} \Delta^2_r \nabla \dot{U}_{r-1} + \frac{Gt h_2}{2} \Delta_r \nabla \dot{U}_{r-1} + \frac{N_{h^2}}{2} \Delta \dot{U}_r - \frac{N_{h^2}}{2} \Delta \dot{U}_{r-1} \\
& + \frac{\epsilon K}{h \cos \alpha} (\Delta^2_r \nabla \theta_{r-1} - \frac{2}{h} \Delta^2_r \Delta W_{r-1}) + \frac{12K}{h \cos \alpha} (\beta_1 - 2\beta_1 \beta_1 - 2\beta_2) \nabla \theta_r + \frac{12K_1}{h \cos \alpha} (\beta_2 - 2\beta_1 \beta_2 - 2\beta_3) \Delta \theta_r = \frac{\Delta P_r}{\cos \alpha} \quad (12) ; \\
& \frac{N}{h^2} \Delta_r^2 \nabla V_{r-1} + \frac{Gt}{2} \Delta_r \nabla \dot{U}_r + \frac{Gt}{2} (\Delta^2_r \nabla \dot{V}_{r-1} + 6 \nabla \dot{V}_r) - \frac{\epsilon K}{h} \tan \alpha \cdot \Delta_r^2 \nabla \theta_{r-1} + \frac{12K}{h^2} \tan \alpha \cdot \Delta_r^2 \nabla \theta_{r-1} \\
& + \frac{6K_2}{h^2} \sec \alpha (1 + \beta_1 - 4\alpha_1 \beta_1 - 4\alpha_2) \nabla \theta_r + \frac{\epsilon K_2}{h^2} \sec \alpha (\beta_2 - 4\alpha_1 \beta_2 - 4\alpha_3) \Delta \theta_r = -\tan \alpha \cdot \Delta P_r \quad (13)
\end{aligned}$$

43

$$\frac{N h^2}{8} (\Delta_x^2 \nabla^{\text{III}} U_{k-1} + 6 \nabla^{\text{III}} U_r) + \frac{G t h^2}{2} \Delta_x \nabla^{\text{II}} V_r + \frac{G t h^2}{h} \Delta_x^2 \nabla^{\text{I}} U_{k-1} + (N_2 + \frac{N_1}{2}) h_2 \nabla^{\text{III}} U_r - (N_2 + N_1) \frac{h^2}{2} \nabla^{\text{III}} W_r = 0 \quad (14)$$

$$\frac{N h^2}{8} (\Delta_x^2 \Delta^{\text{III}} U_{k-1} + 6 \Delta^{\text{III}} U_r) + \frac{G t h^2}{2} \Delta_x^2 \nabla^{\text{II}} U_{k-1} + \frac{G t h^2}{h} \Delta_x \Delta^{\text{III}} U_{k-1} + (N_2 + \frac{N_1}{2}) h_2 \Delta^{\text{III}} U_r - (\frac{N_2}{2} + \frac{N_1}{2}) h_2^2 \Delta^{\text{III}} W_r = 0 \quad (15)$$

$$\begin{aligned} & \text{左端 } K_2 = \frac{E t^3}{12 h^2}, \quad K_1 = \frac{E t^3}{12 h^3}, \quad \alpha_1 = (\frac{E t^3}{h^2} - \frac{12 K_1}{h^3} \sin \alpha) / K_1, \\ & \alpha_2 = 24 K_1 \sin \alpha / h_1^2 K_1, \quad \alpha_3 = 24 K_1 \sin \alpha / h_1^2 K_1, \quad K_1 = \frac{24 K_2}{h^2} + \frac{48 K_1 \sin^2 \alpha}{h_1^2}, \\ & \beta_1 = -2 h_2 \sin \alpha (\frac{E t^3}{h^2} - \frac{12 K_1}{h^3} \sin \alpha) / h_1 K_1, \quad \beta_2 = -12 K_2 \sin \alpha / h_1 K_1, \\ & \beta_3 = \frac{1}{h_1} - \frac{2 h_2 \sin \alpha}{h_1 K_1} \times \frac{24 K_1 \sin \alpha}{h_1^2}; \quad \gamma_0 = 12 K_1 \beta_1 + 12 K_2 \alpha_1 - 6 K_1 - 4 K_2, \\ & \gamma_1 = (2 K_2 - 12 K_1 \beta_2 - 12 K_2 \alpha_2) / \gamma_0, \quad \gamma_2 = -(2 (K_1 \beta_3 + K_2 \alpha_3)) / \gamma_0, \\ & \Delta_x^2 \nabla^{\text{II}}(x-1) = \Delta_x^2 \nabla^{\text{II}}(x) + \Delta_x^2 \nabla^{\text{II}}(x-1), \quad \Delta_x^2 \nabla^{\text{II}}(x) = \Delta_x \nabla^{\text{II}}(x+1) + \Delta_x \nabla^{\text{II}}(x), \\ & \Delta_x \nabla^{\text{II}}(x) = \nabla^{\text{II}}(x+1) - \nabla^{\text{II}}(x-1), \quad N_1 = E t h_1, \quad N_2 = E t h_2. \end{aligned}$$

### 3. 数値計算と考察.

$$E = 2.1 \times 10^6 \text{ kg/cm}^2, \quad v = 0.0, \quad G = 8.1 \times 10^5 \text{ kg/cm}^2,$$

$$l = 150 \text{ cm}, \quad t = 0.1 \text{ cm}, \quad h = 10 \text{ cm}, \quad h_2 = 8.06 \text{ cm},$$

$$h_1 = 8 \text{ cm}, \quad \alpha = 7.12^\circ, \quad \text{断面 } 1/7 \text{ の数 } 5 \text{ 本},$$

$$\text{中央 } 2 \text{ 点集中荷重 } \Sigma P = 1 \text{ t}.$$

鋼床版・舗装・破壊の原因として、たわみ曲率の大きさ部分に多いヒン、斜りアーチとデッキプレートの取付部の剪断力の差などがあげられる。そこで図5のアーチアートの曲げモーメントにおける荷重分布と荷重分布の3倍の逆角曲げモーメントを比較すれば、荷重分布の3倍の逆角曲げモーメントにおける荷重分布となる。

アーチ級数は10種類とし、荷重分布の応力を比較する。また、複数の必要である。数値計算の結果の総対値について、  
a) 安全性は、同程度の断面アーチアートの計算結果など ( $\times 10^4 E \text{ kg/cm}^2$ )  
b) 比較的安全性を得る。最大たわみが著しくなるほど  
集中荷重を受ける等方性板の厚さを取めると、1.42 cm となり、断面高さ  $\alpha / 5$  となる。

### 参考文献

- 1) 城ヶ島大橋設計計算書、技報堂 (1961)
- 2) 山田・大宮司：土木学会論文集 第233号 (1975)
- 3) 山田・大宮司：橋梁と基礎、No.5 (1974)
- 4) 関口・藤原：土木研究所報告 13号号 (1969)
- 5) 清水・林川・高久：土木学会年次学術講演集 I-128 (1974)
- 6) 清水・佐藤・林川：土木学会北海道支部論文集 (1974)
- 7) 清水昇：格子アーチ理論と計算、技報堂 (1966)
- 8) 尾崎誠：土木学会論文集 第179号 (1970)
- 9) 親村・鈴木：土木学会論文集 第154号 (1968)
- 10) 親村・坂井：土木学会論文集 第209号 (1973)
- 11) Y.K.Cheung: A.S.C.E. ST.12 (1969)
- 12) 能町尾崎・大島・佐藤：土木学会北海道支部論文集 (1971)
- 13) Nomachi, Matsuoka: Proc. of the 20th J.N.C.A.M. (1970)

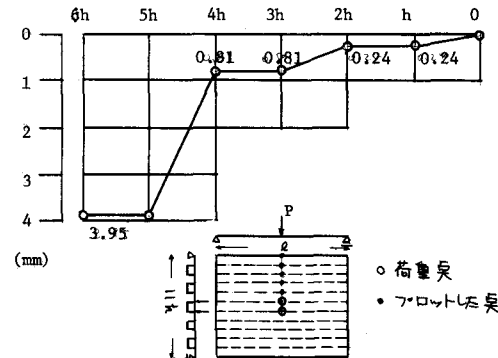


図3. 断面24 W-a 橋軸直角方向の減衰

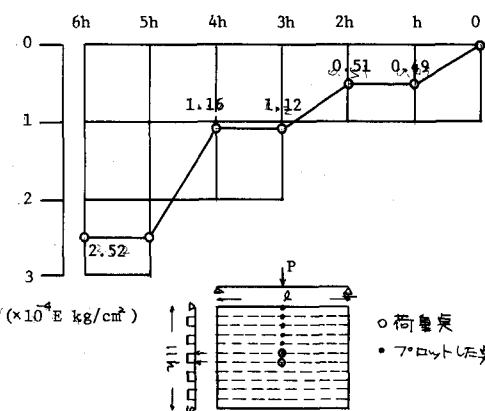


図4. デッキアーチ内 橋軸直角方向応力  $\sigma_x = E \epsilon$   
a) 橋軸直角方向の減衰

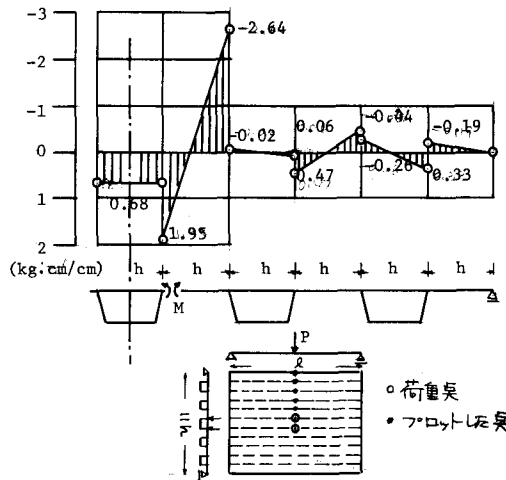


図5. 斜りアーチとデッキアーチの接合部における  
橋軸直角方向曲げモーメントの変化